

Ikke lineær dynamikk

11.08.94

Løsningsskisse

Oppgave 1

a) Addisjon av likningene (1) + (2) + (3) gir

$$\dot{f} + \dot{s} + \dot{d} = 0 \Rightarrow f(t) + s(t) + d(t) = \text{konstant},$$

s: $f(t) + s(t) + d(t) = f(0) + s(0)$ $\quad (\ast)$

Likning (1) er $\frac{d}{dt} \ln f = -k_s s$, og

Likning (3) er $\frac{d}{dt} d = k_d s$, så

$$\frac{d}{dt} (k_d \ln f + k_s d) = 0,$$

dvs $\ln f + \frac{k_s}{k_d} d = \text{konstant} = \ln f(0)$, eller

$$\underline{\underline{f(t) = f(0) e^{-\frac{k_s}{k_d} d(t)}}} \quad (\ast\ast)$$

Av (\ast) og ($\ast\ast$) får $s = f(0) + s(0) - d(t) - f(0) e^{-\frac{k_s}{k_d} d(t)}$

som utsatt i (3) gir

$$\dot{d} = k_d \left[f(0) + s(0) - d(t) - f(0) e^{-\frac{k_s}{k_d} d(t)} \right]$$

b) Innfør $d = \frac{k_d}{k_s} u$:

$$\frac{1}{k_s} \frac{d}{dt} u = f(0) + s(0) - \frac{k_d}{k_s} u - f(0) e^{-u}.$$

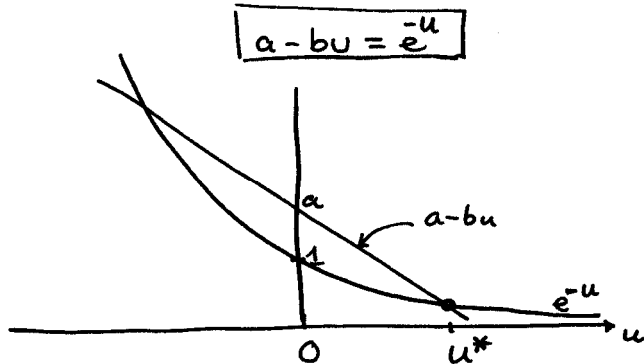
Divisjon med $f(0)$ og med $k_s f(0) t = \tau$ gir

$$\underline{\underline{\frac{du}{d\tau} = a - bu - e^{-u}}},$$

der $a = 1 + \frac{s(0)}{f(0)} \geq 1$ og $b = \frac{k_d}{k_s f(0)} > 0$.

(2)

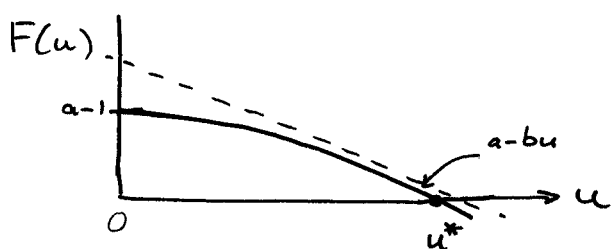
Fiks punkt der $\frac{du}{dt} = 0 \Rightarrow$



Den rette linje må skjære eksponentialfunksjonen i 2 punkter, ett før $u > 0$ og ett før $u < 0$. Da u representerer et antall er den positive løsning den eneste relevante.

c) Funksjonen $F(u) = a - bu - e^{-u}$ ser slik

ut:



En ser uten videre at $F(u) > 0$ for $0 \leq u < u^*$, og da $u(0) = 0$ må u øke med tida τ til verdien u^* nås. Mer formelt gir linearisering rundt u^* :

$$\frac{du}{dt} = F'(u^*)(u - u^*) \text{ , eller}$$

$$\frac{d}{dt}(u - u^*) = F'(u^*)(u - u^*)$$

Da $F'(u^*) < 0$ er fiks punktet fiktrekende [løsn. av linearisert likning: $u - u^* \propto e^{F'(u^*)\tau}$].

(3)

d) Dødsraten er

$$\dot{d} = \frac{k_d}{k_s} u = k_d f(0) \frac{du}{dx} = k_d f(0) [a - bu - e^{-u}]$$

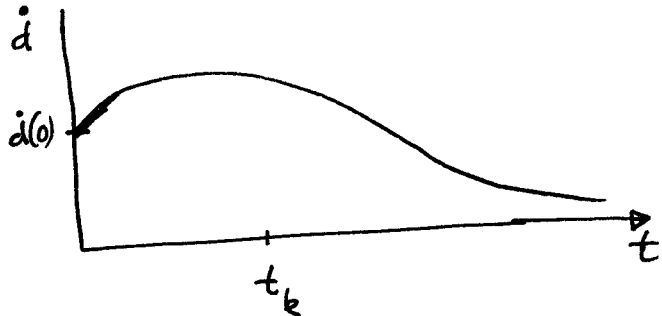
Ved $t=0$ er $u=0$ så

$$\dot{d}(t) - \dot{d}(0) = k_d f(0) [-bu - e^{-u} - 1]$$

Før små u er $-bu - e^{-u} - 1 = -bu - (1-u + \frac{u^2}{2} + \dots) - 1 = (1-b)u + O(u^2)$

Før $b < 1$ er derfor $\underline{\dot{d}(t) - \dot{d}(0) > 0}$ nær starten

Og når $u \rightarrow u^*$ vil $\dot{d} \rightarrow 0$. Da må et kulminasjonspunkt eksistere



Oppgave 2

a) Sett $u(x,t) = \underbrace{\varphi(\xi)}_{\xi=x-ct}$ i sine-Gordon:

$(1-c^2) \varphi'' - \sin \varphi = 0$. Integrasjon gir

$$\frac{1-c^2}{2} \left(\frac{d\varphi}{d\xi} \right)^2 + \cos \varphi = \text{konstant}. \quad \text{Eller}$$

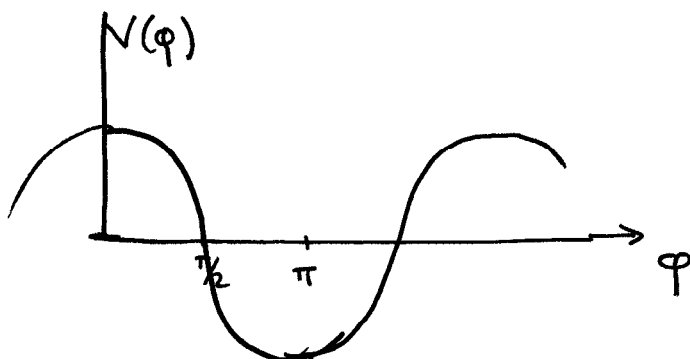
$$\frac{1}{2} \left(\frac{d\varphi}{d\xi} \right)^2 + \frac{1}{1-c^2} \cos \varphi = \text{konstant}$$

Dette er et mekanisk problem i potensiallet

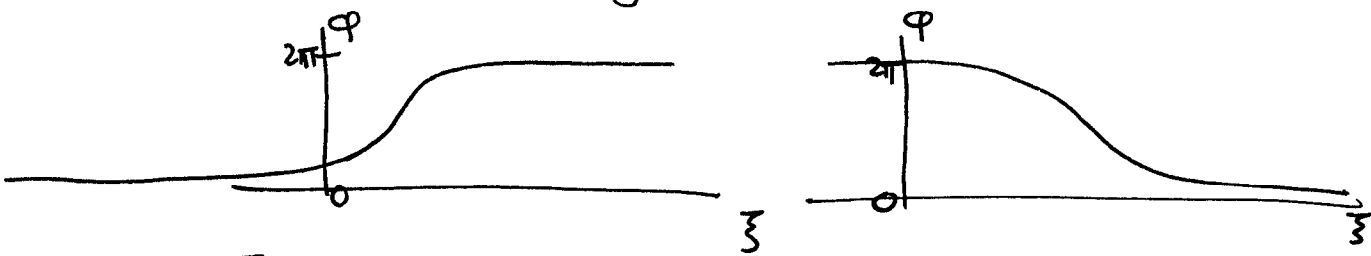
$V(\varphi) = \frac{1}{1-c^2} \cos \varphi$ for partikkel med masse 1:

$$\underline{\frac{1}{2} \left(\frac{d\varphi}{d\xi} \right)^2 + V(\varphi) = E = \text{konstant}}$$

φ er partikkel posisjon, $\xi =$ tid i dette éindimensjonale mekaniske problemet.



For solitære bølger må hastigheten $\rightarrow 0$ ($\varphi \rightarrow$ konstant) for $\xi \rightarrow \pm\infty$. Bevegelser som svarer til dette er bevegelse fra ett potensialmaksimum til nabomaksimaet, enten mot høyre eller mot venstre:



Figuren viser $\varphi(\xi = -\infty) = 0 \rightarrow \varphi(\xi = +\infty) = 2\pi$, eller motsatt, men vi kan legge til hele multipler av 2π .

b) Bevegelseslikning for pendel nr n på stedet x
med $\ddot{\varphi}_n = k(\varphi_{n+1} + \varphi_{n-1} - 2\varphi_n) - mg \sin \varphi_n$

eller $\ddot{\varphi}(x) = k[\varphi(x-\epsilon) + \varphi(x+\epsilon) - 2\varphi(x)] - mg \sin \varphi(x)$

Antas $\varphi(x)$ variere langsomt med x kan vi utvikle i ϵ :

$$\varphi(x \pm \epsilon) = \varphi(x) \pm \epsilon \varphi_x(x) + \frac{1}{2} \epsilon^2 \varphi_{xx}(x) + O(\epsilon^3)$$

som gir utsatt

$$\text{med } \ddot{\varphi} = k \epsilon^2 \varphi_{xx} - mg \sin \varphi.$$

Efter skalering av tid og sted tar dette formen

$$\underline{\varphi_{tt} = \varphi_{xx} - \sin \varphi}, \text{ sine-Gordon.}$$

c) Vha $\frac{d}{dx}(\tan^{-1} x) = \frac{1}{1+x^2}$ fôr med ($\beta = \frac{1}{\sqrt{1-c^2}}$)

$$\varphi = 4 \tan^{-1} e^{\pm(x-x_0-ct)} \beta$$

$$\varphi_x = \frac{4}{1+e^{\pm 2\beta(x-x_0-ct)}} (\pm \beta) e^{\pm \beta(x-x_0-ct)} = \frac{\pm 2\beta}{\cosh[\beta(x-x_0-ct)]}$$

$$\varphi_t = -c \varphi_x$$

$$\varphi_{xx} = \frac{\pm 2\beta^2}{\cosh^2[\beta(x-x_0-ct)]} \sinh[\beta(x-x_0-ct)]$$

$$\varphi_{tt} = c^2 \varphi_{xx}$$

$$\varphi_{xx} - \varphi_{tt} = (1-c^2) \varphi_{xx} = \frac{1}{\beta^2} \varphi_{xx} = \frac{\pm 2 \sinh[\beta(x-x_0-ct)]}{\cosh[\beta(x-x_0-ct)]} \quad (***)$$

Dessuten

$$\sin \varphi = \sin(4\frac{\varphi}{4}) = 2 \sin(\frac{\varphi}{4}) \cos(\frac{\varphi}{4}) = 4 \sin \frac{\varphi}{4} \cos \frac{\varphi}{4} (\cos^2 \frac{\varphi}{4} - \sin^2 \frac{\varphi}{4})$$

$$= \frac{4 \sin \frac{\varphi}{4} \cos \frac{\varphi}{4} (\cos^2 \frac{\varphi}{4} - \sin^2 \frac{\varphi}{4})}{(\sin^2 \frac{\varphi}{4} + \cos^2 \frac{\varphi}{4})^2} = \frac{4 \tan \frac{\varphi}{4} (1 - \tan^2 \frac{\varphi}{4})}{(1 + \tan^2 \frac{\varphi}{4})^2}$$

$$= \frac{4 e^{\pm(x-x_0-ct)\beta} (1 - e^{\pm 2(x-x_0-ct)\beta})}{(1 + e^{\pm 2(x-x_0-ct)\beta})^2}$$

$$= \frac{4 (e^{\mp(x-x_0-ct)\beta} - e^{\pm(x-x_0-ct)\beta})}{[e^{\mp(x-x_0-ct)\beta} + e^{\pm(x-x_0-ct)\beta}]^2}$$

$$= \frac{4 \cdot \mp 2 \sinh[(x-x_0-ct)\beta]}{\{2 \cosh[(x-x_0-ct)\beta]\}^2} = \mp \frac{2 \sinh[(x-x_0-ct)\beta]}{\cosh^2[(x-x_0-ct)\beta]}$$

Dette er uttrykket (****) ovenfor. Altøv tilfredsstilles sine-Gordon-ligninger av denne sôltørkeformen.

(6)

Oppgave 3

a) Som førel.

b) Fiks punkter $F(x) = x$

$$(a-1)x = x^3 \text{ gir tre løsninger}$$

$$x_0^* = 0 \quad x_{\pm}^* = \sqrt{a-1} \text{ og } x_{\mp}^* = -\sqrt{a-1}.$$

For $a < 1$ eksister bare x_1^* , for $a > 1$ alle tre i det reelle.

Stabilitet er bestemt ved $|F'(x^*)| < 1$.

$$F'(x) = a - 3x^2 \text{ gir}$$

$$F'(x_a^*) = a, \text{ så } x_a^* = 0 \text{ er stabil for } \underline{a < 1}.$$

$$F'(x_{\pm}^*) = a - 3(a-1) = 3-2a, \text{ som gir}$$

$$\text{stabilitet for } \underline{1 < a < 2}$$

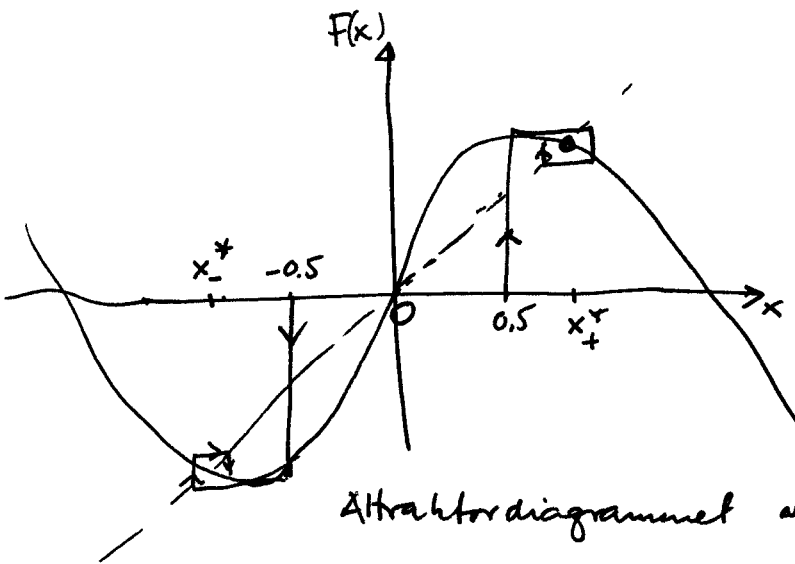
c) Punkt A må være der ~~det stabile~~ fiks punktet går over fra x_0^* til x_{\pm}^* , dvs $\underline{\underline{a_A=1}}, \underline{\underline{x_A=0}}$

Stabiliteten av fiks punktet slutter ved punkt B. Her er altså $\underline{\underline{a_B=2}}, \underline{\underline{x_B=\sqrt{a_B-1}=1}}$

Hadde vi startet med $x_1 = -0,5$ ville det stabile fiks punktet for $1 < a < 2$ vært x_{\mp}^* .

Det ser ut at $F(x)$ som er en odd funksjon av x :

(7)



Attraktordiagrammet vil bli speilbildet ($x \rightarrow -x$).

d) $F(x_+) = ax_+ - x_+^3 = x_+(a-x_+^2) = x_+\left(a - \frac{a}{2} - \sqrt{\frac{a^2}{4}-1}\right)$
 $= x_+\left(\frac{a}{2} - \sqrt{\frac{a^2}{4}-1}\right) = x_+ x_-^2 = x_-, \text{ da}$

$x_+ x_- = 1$. Tidstavende er $F(x_-) = x_+$ så $F^2(x_+) = x_+$,
periode 2. Samme for negative x_{\pm} .

Stabilitet: $F'(x_{\pm}) = a - 3x_{\pm}^2 = a - 3\left(\frac{a}{2} \pm \sqrt{\frac{a^2}{4}-1}\right)$
 $= -\frac{a}{2} \mp 3\sqrt{\frac{a^2}{4}-1}$

og $F'(x_+) F'(x_-) = \frac{a^2}{4} - 9\left(\frac{a^2}{4}-1\right) = 9-2a^2$

$$\left| \frac{d}{dx} F^2(x_{\pm}) \right| = |F'(x_+) F'(x_-)| = |9-2a^2| \text{ ligger mellom}$$

$+1$ og -1 for $2 < a < \sqrt{5}$. Så periode-2
banene er stabile i dette intervallet. På
figuren er da $\underline{\underline{a_c = a_D = \sqrt{5}}}, g$

$$x_c = \underline{\underline{\sqrt{\frac{\sqrt{5}}{2} + \frac{1}{2}}}} \quad x_d = \underline{\underline{\sqrt{\frac{\sqrt{5}}{2} - \frac{1}{2}}}}$$

(8)

e) Som frekvensingene

f) Der vi har en ^{stabil} periodisk bane er $\lambda \leq 0$.For et fiks punkt er alle $F'(x_i)$ identiske, så

$$\lambda = \ln |F'(x^*)| = \ln |a - 3x^{*2}|$$

$$0 < a < 1$$

$$x^* = 0$$

$$\lambda = \frac{\ln a}{a}$$

$$1 < a < 2$$

$$x^* = \pm \sqrt{a-1}$$

$$\lambda = \frac{\ln |3-2a|}{|3-2a|}$$

